

РАДИОФИЗИКА

УДК 533.9:533.7

**ДИНАМИКА ШИРОКОГО СПЕКТРА КОЛЕБАНИЙ ПРИ РАССЕЯНИИ ЭЛЕКТРОМАГНИТНЫХ ВОЛН НА РЕЛЯТИВИСТСКОМ ПУЧКЕ ЭЛЕКТРОНОВ**

Ю. В. Бобылев, В. А. Панин, А. П. Плотников

(кафедра физической электроники)

Исследуется нелинейная теория рассеяния многих мод электромагнитных колебаний на релятивистском электронном пучке. При этом основным механизмом стабилизации неустойчивости, развивающейся в режиме аномального эффекта Доплера, являются следующие два эффекта: торможение пучка и релятивистская зависимость частоты плазменных колебаний пучка от амплитуды. Показано, что в случае монохроматической накачки с ростом релятивизма пучка спектр рассеянной волны уширяется. Если же накачка немонахроматическая, то происходит эффективное возбуждение монохроматической сигнальной волны. При этом КПД процесса может достигать 50—60%.

Возбуждение широких спектров колебаний при взаимодействии электромагнитных волн с электронными пучками исследовались в работах [1—5]. В основном в них изучалась обычная пучковая неустойчивость в многомодовом режиме.

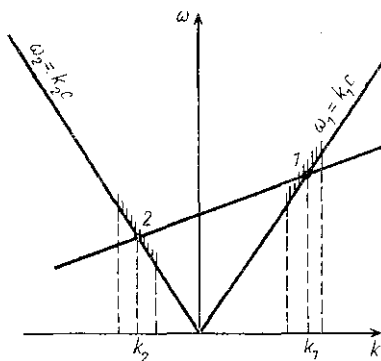


Рис. 1

Настоящая работа посвящена нелинейной теории рассеяния многих мод электромагнитных колебаний на релятивистском пучке. Пусть сигнальная волна представлена широким набором электромагнитных волн, близких по волновым числам, с амплитудами  $\epsilon_{1s}$ , и волна накачки пусть тоже характеризуется соответствующим набором амплитуд  $\epsilon_{2n}$ . На рис. 1 показано расположение сигнальных волн и волн накачки на плоскости «частота  $\omega$  — волновое число  $k$ ». Для простоты спектры электромагнитных волн считаются линейными, что справедливо в высокочастотной области. В постановке начальной задачи система уравнений для амплитуд  $\epsilon_{1s}$  и  $\epsilon_{2n}$ ,

которые взаимодействуют с замагниченным релятивистским пучком электронов, имеет вид

$$\frac{d\epsilon_{1s}}{d\tau} = -v \frac{1}{s} \sum_n \epsilon_{2n} \hat{\rho}_{sn} \exp\{i\eta_{0sn}\tau\},$$

$$\frac{d\epsilon_{2n}}{d\tau} = v \frac{1}{n} \sum_s \epsilon_{1s} \hat{\rho}_{sn}^* \exp\{-i\eta_{0sn}\tau\},$$

$$\frac{dy}{d\tau} = \frac{1}{\mu} \frac{p^2 - 1}{p^2},$$

(1)

$$\begin{aligned} \frac{dp}{d\tau} &= -\frac{i}{4} \mu \sum_{s,n} \frac{1}{q_{sn}} (\rho_{sn} \exp\{iq_{sn}y\} - \text{к. с.}) + \\ &+ \frac{\mu}{4} v \frac{1}{p^3} \sum_{s,n} \frac{q_{sn}}{sn} (\epsilon_{1s} \epsilon_{2n} \exp\{iq_{sn}y - i\eta_{0sn}\tau\} + \text{к. с.}), \\ \rho_{sn} &= \frac{\hbar}{\pi} \int_0^{2\pi/\hbar} dy_0 \exp\{-iq_{sn}y\}, \\ \hat{\rho}_{sn} &= \frac{\hbar}{\pi} \int_0^{2\pi/\hbar} dy_0 p^{-3} \exp\{-iq_{sn}y\}. \end{aligned}$$

Поясним основные обозначения:  $\tau$  — время, нормированное на ленгмюровскую частоту электронов пучка,  $y$  — координата электрона,  $p$  — его импульс,  $\hbar$  — расстояние между двумя модами на оси волновых чисел,

$$v = \frac{1}{4} \frac{\omega_b k_1^2 c^2 G}{\Omega_1^2 \sqrt{\omega_1 \omega_3}} \quad (2)$$

— параметр связи электромагнитных волн с пучковыми ( $k_1$  — поперечное волновое число,  $\Omega_1^2 = (\omega_1 - k_1 u)^2$ ,  $G$  — геометрический фактор пучка) [7],  $\eta_{0sn}$  — расстройка, причем

$$\begin{aligned} \eta_{0sn} &= (s-n)\theta - n, \\ q_{sn} &= (s-n)\lambda + n, \end{aligned} \quad (3)$$

где  $\theta = \Omega_1/\Omega_b$ ,  $\lambda = k_1/k_{11}$  ( $k_{11} = (k_{1s} - k_{2n})|_{s=1; n=1}$ ),

$$\mu = 2\gamma^2 \frac{\Omega_b}{k_{11} u} \quad (4)$$

— параметр релятивизма,  $\gamma = (1 - u^2/c^2)^{-1/2}$ ,  $u$  — скорость невозмущенного пучка,  $\Omega_b$  — его ленгмюровская частота. Отметим, что система (1) представляет собой обобщение на многомодовый случай известных уравнений в теории трехволновых взаимодействий [6, 7]. В основе вывода этих уравнений лежит предположение о разделении движения электронов пучка на быстрое (в полях электромагнитных волн) и медленное (в поле комбинационной волны и волны плотности заряда пучка), что позволяет провести разложение фаз взаимодействующих волн и последующее усреднение [6].

В системе (1) первое и второе уравнения описывают динамику безразмерных амплитуд ( $\epsilon_{1s}$  и  $\epsilon_{2n}$ )  $s$ -й и  $n$ -й мод сигнальной волны и волны накачки соответственно, а третье и четвертое — движение электронов пучка в полях пучковой и комбинационных волн.

Уравнения (1) имеют два первых интеграла:

$$\sum_s s |\epsilon_{1s}|^2 + \sum_n n |\epsilon_{2n}|^2 = \sum_s s |\epsilon_{1s0}|^2 + \sum_n n |\epsilon_{2n0}|^2,$$

$$\begin{aligned}
 & (1-\lambda) \frac{\mu}{8} \sum_s |\varepsilon_{1s}|^2 - \lambda \frac{\mu}{8} \sum_n |\varepsilon_{2n}|^2 + \frac{\hbar}{2\pi} \int_0^{2\pi} p dy_0 = \\
 & = (1-\lambda) \frac{\mu}{8} \sum_s |\varepsilon_{1s0}|^2 - \lambda \frac{\mu}{8} \sum_n |\varepsilon_{2n0}|^2 + 1,
 \end{aligned} \tag{5}$$

причем  $|\varepsilon_{1s0}| = |\varepsilon_{1s}| |_{\tau=0}$ ,  $|\varepsilon_{2n0}| = |\varepsilon_{2n}| |_{\tau=0}$ ,  $p|_{\tau=0} = 1$ .

Считаем далее, что рассеяние происходит в условиях аномального эффекта Доплера, когда параметр связи [7]

$$v \ll 1. \tag{6}$$

В условиях (6) уравнения (1) можно существенно упростить. Используем для этого метод разложения по траекториям и импульсам [9] и представим координату и импульс электрона в виде

$$\begin{aligned}
 y &= y_0 + w(\tau) + \tilde{y}(\tau, y_0), \\
 p &= \langle p \rangle + \frac{1}{2} \sum_{s,n} (a_{sn} \exp\{iq_{sn}y_0\} + \text{к. с.}).
 \end{aligned} \tag{7}$$

Здесь  $w(\tau)$  описывает постоянное смещение электронов пучка, а  $\tilde{y}$  — осцилляционные движения ( $\tilde{y}(\tau, y_0) = \tilde{y}(\tau, y_0 + 2\pi/\hbar)$ );  $\langle p \rangle$  — средний импульс пучка,  $a_{sn}$  — амплитуды осцилляций импульса. После подстановки выражений (7) в систему (1), линеаризации экспонент по  $\tilde{y}$  и разложения импульсов с точностью, учитывающей нелинейности третьего порядка, получим следующие уравнения для величин  $\varepsilon_{1s}$ ,  $\varepsilon_{2n}$ ,  $w$ ,  $\rho_{sn}$ ,  $a_{sn}$ :

$$\begin{aligned}
 \frac{d\varepsilon_{1s}}{d\tau} &= -v \frac{1}{s} \sum_n \varepsilon_{2n} \hat{\rho}_{sn} \exp\{-iq_{sn}w + i\eta_{0sn}\tau\}, \\
 \frac{d\varepsilon_{2n}}{d\tau} &= v \frac{1}{n} \sum_s \varepsilon_{1s} \hat{\rho}_{sn}^* \exp\{iq_{sn}w - i\eta_{0sn}\tau\}, \\
 \frac{dw}{d\tau} &= -\frac{1}{4} \left\{ \left[ \lambda \sum_s s^4 (|\varepsilon_{1s}|^2 - |\varepsilon_{1s0}|^2) - \right. \right. \\
 & \left. \left. - (1-\lambda) \sum_n n^4 (|\varepsilon_{2n}|^2 - |\varepsilon_{2n0}|^2) \right] + \frac{6}{\mu} \sum_{s,n} |a_{sn}|^2 \right\}, \\
 \frac{d\rho_{sn}}{d\tau} &= -\frac{2iq_{sn}}{\mu} \left\{ 1 + \frac{3}{8} \mu \left[ \lambda \sum_k k^4 (|\varepsilon_{1k}|^2 - |\varepsilon_{1k0}|^2) - \right. \right. \\
 & \left. \left. - (1-\lambda) \sum_m m^4 (|\varepsilon_{2m}|^2 - |\varepsilon_{2m0}|^2) \right] + \frac{3}{2} \sum_{k,m} |a_{km}|^2 \right\} a_{sn}, \\
 \frac{da_{sn}}{d\tau} &= -\frac{i}{2} \mu \frac{1}{q_{sn}} \rho_{sn} + \frac{1}{2} \mu v \frac{q_{sn}}{sn} \left\{ 1 + \frac{3}{8} \mu \left[ \lambda \sum_k k^4 (|\varepsilon_{1k}|^2 - \right. \right. \\
 & \left. \left. - |\varepsilon_{1k0}|^2) - (1-\lambda) \sum_m m^4 (|\varepsilon_{2m}|^2 - |\varepsilon_{2m0}|^2) \right] + \right.
 \end{aligned} \tag{8}$$

$$\begin{aligned}
& + 3 \sum_{k,m} |a_{km}|^2 \left\} \varepsilon_{1s} \varepsilon_{2n}^* \exp \{i q_{sn} \omega - i \eta_{0sn} \tau\}, \\
\tilde{\rho}_{sn} = & \left\{ 1 + \frac{3}{8} \mu \left[ \lambda \sum_k k^4 (|\varepsilon_{1k}|^2 - |\varepsilon_{1k0}|^2) - \right. \right. \\
& \left. \left. - (1 - \lambda) \sum_m m^4 (|\varepsilon_{2m}|^2 - |\varepsilon_{2m0}|^2) \right] + 3 \sum_{k,m} |a_{km}|^2 \right\} \rho_{sm}.
\end{aligned}$$

Представим

$$\rho_{sn} = \tilde{\rho}_{sn} \exp \{i q_{sn} \omega - i \eta_{0sn} \tau\}, \quad (9)$$

где  $\tilde{\rho}_{sn}$  — медленная функция времени. В результате, с учетом неравенства (5) система уравнений (8) сведется к виду

$$\begin{aligned}
\frac{d\varepsilon_{1s}}{d\tau} &= -v \frac{1}{s} \sum_n \varepsilon_{2n} \tilde{\rho}_{sn}, \\
\frac{d\varepsilon_{2n}}{d\tau} &= v \frac{1}{n} \sum_s \varepsilon_{1s} \tilde{\rho}_{sn}^*, \\
\frac{d\tilde{\rho}_{sn}}{d\tau} + \frac{i}{2} \delta_{sn} \tilde{\rho}_{sn} &= \frac{1}{2} \frac{q_{sn}^2}{s n \eta_{0sn}} \varepsilon_{1s} \varepsilon_{2n}^*,
\end{aligned} \quad (10)$$

где

$$\begin{aligned}
\delta_{sn} &= \frac{\eta_{0sn}^2 - 1}{\eta_{0sn}} - q_{sn} \frac{\eta_{0sn}^2 + 1}{\eta_{0sn}^2} T_1 - \frac{\mu}{\eta_{0sn}} T_2, \\
T_1 &= -\frac{1}{2} \sum_{s,n} \frac{\eta_{0sn}}{q_{sn}} \left( 1 - \frac{3}{4} \mu \frac{\eta_{0sn}}{q_{sn}} \right) |\tilde{\rho}_{sn}|^2, \\
T_2 &= -\frac{3}{4} \sum_{s,n} \frac{\eta_{0sn}}{q_{sn}} \left( 1 - \frac{1}{2} \mu \frac{\eta_{0sn}}{q_{sn}} \right) |\tilde{\rho}_{sn}|^2.
\end{aligned} \quad (11)$$

Расстройка  $\delta_{sn}$  состоит из линейной части (первое слагаемое) и нелинейной (второе и третье), которая определяет стабилизацию неустойчивости. Первое слагаемое в выражении для  $T_1$  описывает торможение пучка, а второе вместе с величиной  $T_2$  — релятивистский нелинейный сдвиг частоты, обусловленный зависимостью плазменных колебаний пучка от амплитуды. Если  $s=n=1$ , то уравнения (10) совпадают с уравнениями работ [7, 10], которые имеют аналитические решения. В многомодовом случае ( $s \neq n \neq 1$ ) аналитических решений найти не удается. Поэтому рассмотрим результаты численного анализа системы (10).

Остановимся на двух наиболее интересных случаях. Пусть сигнальная волна  $\varepsilon_{1s}$  задана при  $\tau=0$  в виде спектра ( $s=0,6 + kh$ ,  $h=0,01$ ,  $k=80$ ), а накачка — монохроматическая ( $n=1$ ). При этом, как следует из линейного анализа, необходимо, чтобы

$$h < \Delta s \sim 4 \sqrt{2} \frac{v}{\theta} |\varepsilon_{20}|. \quad (12)$$

В противном случае имеет место одномодовый режим рассеяния. Чис-

ленные расчеты проводились при  $\nu=0,05$ ;  $\lambda=0,7$ ;  $\theta=1,2$  и следующих начальных условиях:  $|\epsilon_{1s}|_{\tau=0}=0,01$ ;  $|\epsilon_{2n}|_{\tau=0}=1$ . (Нетрудно видеть, что неравенство (12) выполняется с хорошим запасом.) Таким образом, единственным свободным параметром задачи остается  $\mu$ . На рис. 2 приведена временная динамика спектра сигнальной волны  $|\epsilon_{1s}|$  при различных значениях  $\mu$ . Сплошной линией изображен спектр  $|\epsilon_{1s}|$  при  $\mu=0,6$ , а пунктиром — при  $\mu=2,5$ . Видно, что в обоих случаях возбуждается широкий спектр колебаний, однако для большего  $\mu$  спектр становится более широким. При  $\mu=0,6$  спектр с течением времени заметно смещается влево (смещение в сторону меньших волновых чисел хорошо иллюстрируется рисунком 1), что объясняется доминирующим

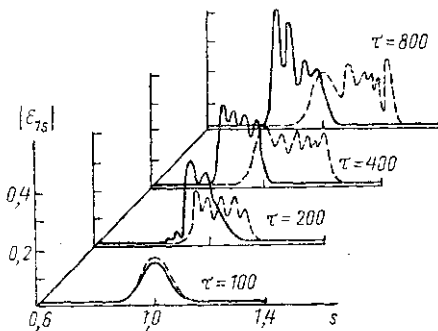


Рис. 2

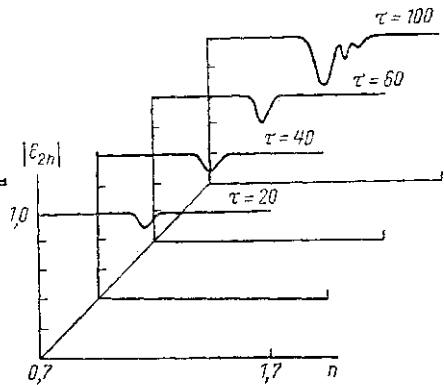


Рис. 3

влиянием торможения пучка, в то время как при  $\mu > 1$  основную роль начинает играть релятивистский механизм стабилизации неустойчивости [11]. В обоих случаях при  $\tau \sim 800$  эволюция спектра практически заканчивается, причем амплитуды мод, вышедших из резонанса вследствие нелинейного сдвига частот, не меняются. В отличие от рассматриваемой ситуации, в одномодовой режиме амплитуда нерезонансной моды быстро стремится к нулю [10]. Эффективность преобразования кинетической энергии пучка в энергию излучения определяется формулой

$$\text{КПД} = 1 - \frac{h}{2\pi} \int_0^{2\pi/h} p dy_0, \quad (13)$$

и при  $\mu=0,6$  КПД  $\approx 7\%$ , а при  $\mu=2,5$  КПД  $\approx 24\%$ . Отметим, что при  $\mu \ll 1$  также возбуждается достаточно широкий спектр  $|\epsilon_{1s}|$ , но КПД в этом случае мал и составляет доли процента.

Рассмотрим теперь второй случай, когда в процессе рассеяния участвуют монохроматическая сигнальная волна  $\epsilon_1$  ( $s=1$ ) и спектральная накачка  $\epsilon_{2n}$  ( $n=0,7+kh$ ;  $k=100$ ;  $h=0,01$ ), а остальные параметры те же. На рис. 3 изображена временная динамика спектра волны накачки при  $\mu=1$ , а на рис. 4 — зависимость от времени  $\tau$  амплитуды сигнальной волны  $|\epsilon_1|$  при  $\mu=1$  (сплошная линия) и при  $\mu=2,5$  (пунктир). Для сравнения на рис. 3 изображена также амплитуда  $|\epsilon_{2n}|_{n=1}$ . Видно, что спектр волны накачки с течением времени меняется не очень значительно. Однако, как видно из рис. 3, имеет место существенный рост монохроматической сигнальной волны, причем с

ростом параметра релятивизма  $\mu$  растет амплитуда  $|\varepsilon_1|$ . Растет соответственно и КПД. Так, при  $\mu=1,0$  КПД  $\approx 15\%$ , а при  $\mu=2,5$  КПД  $\approx 60\%$ . Последний результат хорошо согласуется с результатами работы [8], в которой исследовалась возможность использования немонохроматической накачки в приборах типа ЛСЭ (лазеров на свободных электронах). Отметим, что дальнейшее увеличение параметра  $\mu$  ведет к уменьшению КПД.

В заключение проведем оценку реальных параметров пучка и длины волны излучения для случая рассеяния в вакуумном волноводе, исходя из безразмерных параметров  $\mu$ ,  $\nu$ . Используя, как и ранее, линейный закон дисперсии электромагнитных мод, получаем

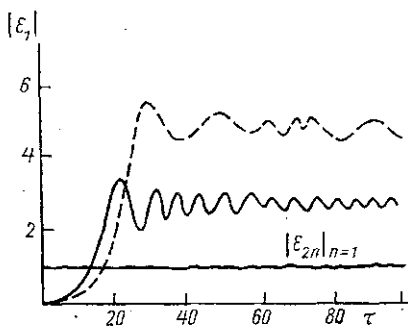


Рис. 4

$$k_1 = -k_2 \frac{c+u}{c-u}, \quad k_{11} = k_1 - k_2,$$

$$\nu = 8 \frac{\pi r_b \Delta}{R^2} \frac{\Omega_b k_{\perp}^2 \gamma^5}{k_{11}^3}, \quad (14)$$

$$\mu = 2\gamma^2 \frac{\Omega_b}{k_{11} u}.$$

Нетрудно видеть, что длина рассеянной волны определяется соотношением  $\Lambda_1 \sim \Lambda_2 \gamma^{-2}$ . Зададим радиус волновода  $R=2$  см ( $k_{\perp} = \mu_1/R$ ), радиус пучка  $r_b=1$  см, толщину пучка  $\Delta=0,1$  см и  $\gamma \sim 3$ . Тогда для  $\nu=0,05$ , изменяя параметр  $\mu$  от 0,6 до 2,5, получаем диапазон изменения плотности пучка от  $3 \cdot 10^{10}$  см $^{-3}$  ( $\Omega_b \sim 10^{10}$  с $^{-1}$ ) до  $3 \cdot 10^{12}$  см $^{-3}$  ( $\Omega_b \sim 10^{11}$  с $^{-1}$ ).

#### ЛИТЕРАТУРА

- [1] Шапиро В. Д., Шевченко В. И. // Изв. вузов, Радиофизика. 1976. 19, № 5—6. С. 787. [2] Рогашкова А. И., Цейтлин Н. Б., Вилкова Л. П. // Изв. вузов, Радиофизика. 1974. 17, № 5. С. 659. [3] Кузелев М. В., Панин В. А., Плотников А. П., Рухадзе А. А. // Кр. сообщ. по физике ФИАН. 1987. № 6. С. 24. [4] Куклин В. М., Панченко И. П., Хакимов Ф. Х. Многоволновые процессы в физике плазмы. Душанбе, 1989. [5] Кузелев М. В., Панин В. А., Плотников А. П. // Радиотехн. и электроника. 1989. 34, № 9. С. 1918. [6] Братман В. А., Гинзбург Н. С., Петелин М. И. // ЖЭТФ. 1979. 76, № 3. С. 930. [7] Кузелев М. В., Панин В. А. // Изв. вузов, Радиофизика. 1984. 27, № 4. С. 426. [8] Гинзбург Н. С. // Письма в ЖТФ. 1984. 10, № 10. С. 586. [9] Кузелев М. В., Рухадзе А. А., Бобылев Ю. В., Панин В. А. // ЖЭТФ. 1986. 91, № 5 (11). С. 1620. [10] Кузелев М. В., Бобылев Ю. В., Панин В. А. // Изв. вузов, Радиофизика. 1988. 31, № 10. С. 1193. [11] Кузелев М. В., Панин В. А., Плотников А. П., Рухадзе А. А. // ЖЭТФ. 1989. 96, № 3 (9). С. 865.

Поступила в редакцию  
19.10.90